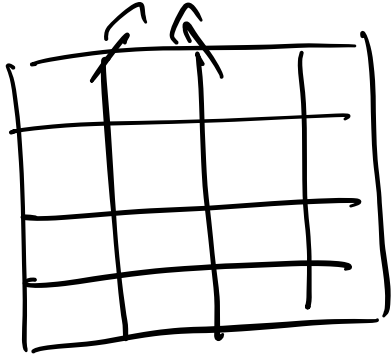


Modelo xy 2-D



$$Z = \int_0^{2\pi} \prod_i d\theta_i e^{\frac{J}{k_B T} \sum_{\langle ij \rangle} \cos(\theta_i - \theta_j)}$$

$$\tilde{\beta} = \frac{J}{k_B T}$$

→ después de una transf. de dualidad y el límite al continuo

$$Z \sim \int \mathcal{D}\varphi e^{-\frac{1}{2\tilde{\beta}} \int d^2r [(\nabla\varphi)^2 + g \cos(2\pi\varphi)]}$$

$$\frac{d^2 g}{d\tau^2} = (2 - \pi \hat{\beta}) g$$

$$\Rightarrow \pi \hat{T} < T_{BK\pi} = \frac{\pi \mathcal{J}}{2 b v_B} \quad \leftarrow$$

$g \rightarrow 0$, \rightarrow teoría sin vortices.

\rightarrow las correlaciones decaen algebraicamente \rightarrow QLR0

$$\Rightarrow \pi \hat{T} > T_{BK\pi}$$

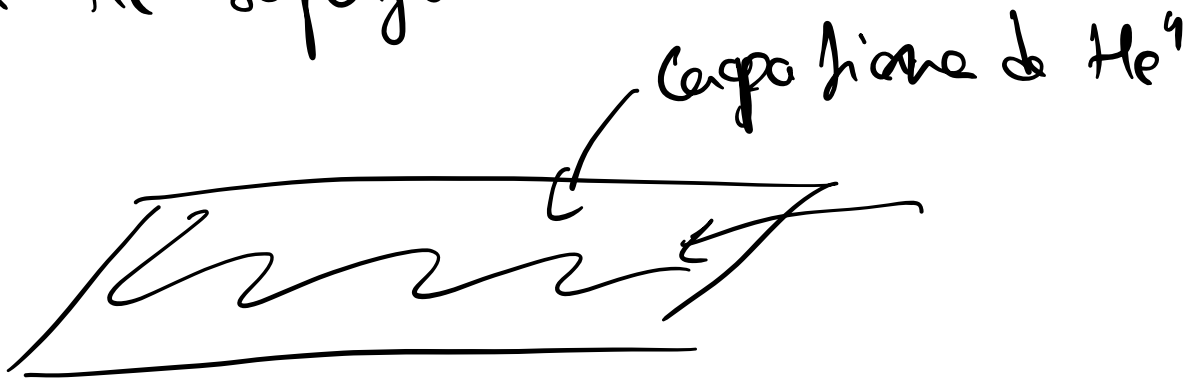
$\rightarrow g \rightarrow \infty \rightarrow$ los vortices proliferan a grandes escalas.

\Rightarrow las correlaciones decaen como

$$e^{-\frac{|\mathbf{r}|}{\xi}}$$

$\xi \sim$ espacio medio entre vortices.

→ realització experimental
 con He⁴ superfluidor.



on $T \lesssim 2 \text{ K}$

$$H = \int d\vec{r} \hat{\Psi}^\dagger(\vec{r}) \left(\frac{-\hbar^2 \Delta}{2m} \right) \hat{\Psi}(\vec{r})$$

$$+ \frac{1}{2} \int d\vec{r} d\vec{r}' \hat{\Psi}^\dagger(\vec{r}) \hat{\Psi}^\dagger(\vec{r}') V(|\vec{r}-\vec{r}'|) \hat{\Psi}(\vec{r}) \hat{\Psi}(\vec{r}')$$

→ simetria $U(1)$

$$\begin{aligned} \hat{\Psi}(\vec{r}) &\rightarrow e^{i\theta} \hat{\Psi} \\ \hat{\Psi}^\dagger &\rightarrow e^{-i\theta} \hat{\Psi}^\dagger \end{aligned}$$

Condició d B.E.

$$\langle \hat{\Psi}(\vec{r}) \rangle_{GS} \neq 0$$

$$\langle \Psi(\vec{r}) \rangle_{GS} = \underline{\Psi(\vec{r})}$$

$$Z = \int \mathcal{D}\Psi e^{-S_{GL}}$$

$$S_{GL} = \int d\vec{r} \left[\frac{\kappa}{2} |\nabla \Psi|^2 + \frac{a_2}{2} |\Psi|^2 + \frac{a_4}{4} |\Psi|^4 \right]$$

$$a_2 < 0$$

$$\Psi(\vec{r}) = \Psi_0 e^{i\theta(\vec{r})}$$

$$\Rightarrow S_{GL} = \text{const} + \frac{1}{2} \kappa_0 \int d\vec{r} |\nabla \theta(\vec{r})|^2$$

$$\kappa_0 = \kappa |\Psi_0|^2$$

$$\langle e^{-i\theta(\vec{r})} e^{i\theta(\vec{r})} \rangle \stackrel{2-D}{=} \frac{1}{|\vec{r}|^{2\pi \kappa_0(t)}}$$

$$\sim \langle \Psi^\dagger \Psi \rangle$$

\vec{V}_s velocidad superfluida

$$\vec{V}_s = \left[\frac{\hbar}{2mi} (\psi^* \nabla \psi - \psi \nabla \psi^*) \right]$$

$$= \frac{\hbar}{m} |\psi|^2 \nabla \theta$$

$$E_s = \frac{1}{2} \int_S d\vec{n} \vec{V}_s^2(\vec{r})$$

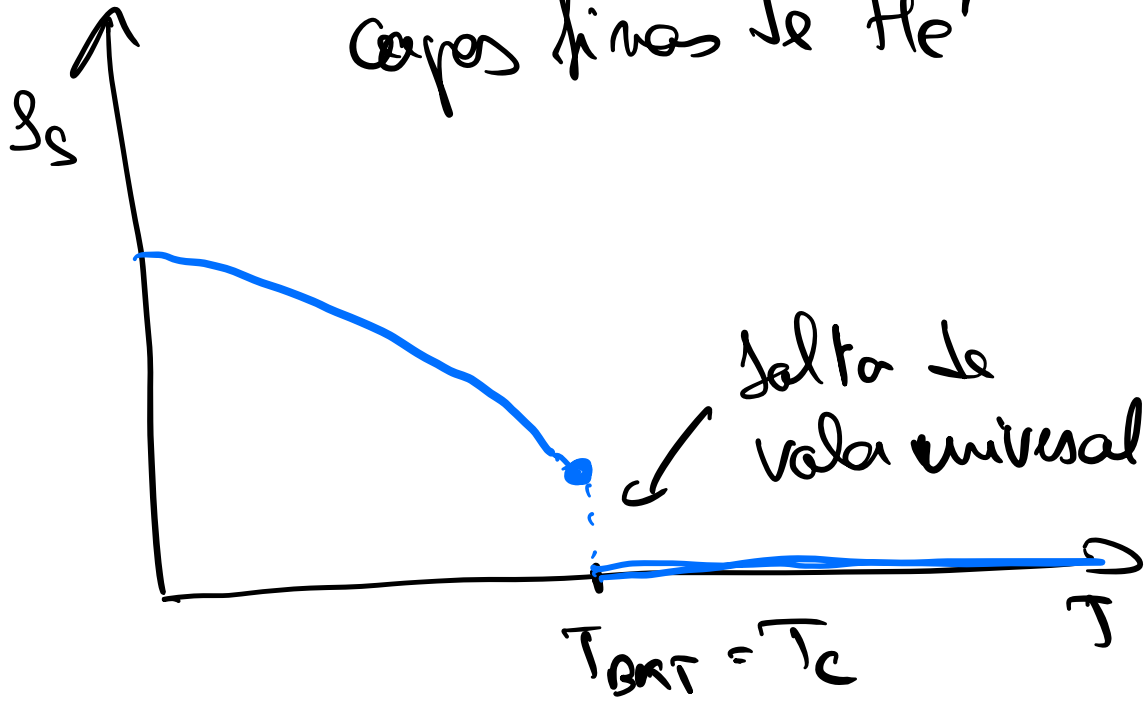
↑
densidad superfluida.

$$\rightarrow \int_S = \frac{\hbar^2 c}{4\pi m^2} K_0$$

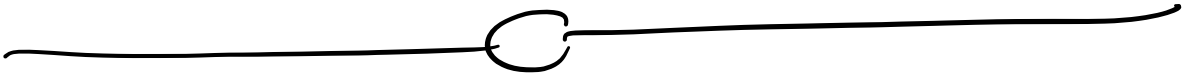
↑

lo que se puede medir exp.

Cargas finas de He^+



$$\frac{\sigma_{s,T_c}}{k_B T_c} = \frac{2m^2}{\pi \hbar^2}$$

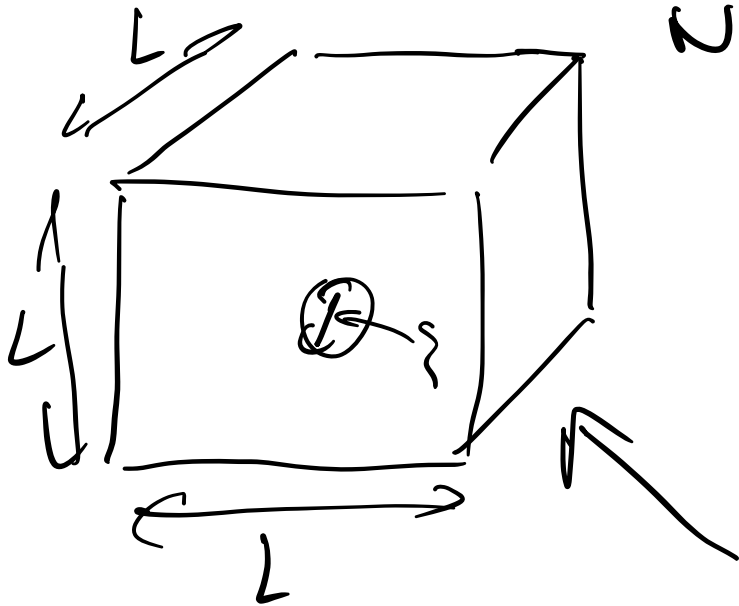


III Temas diversos

1) Ed calor en rombo finito

$$t = \frac{(T - T_c)}{T_c}$$

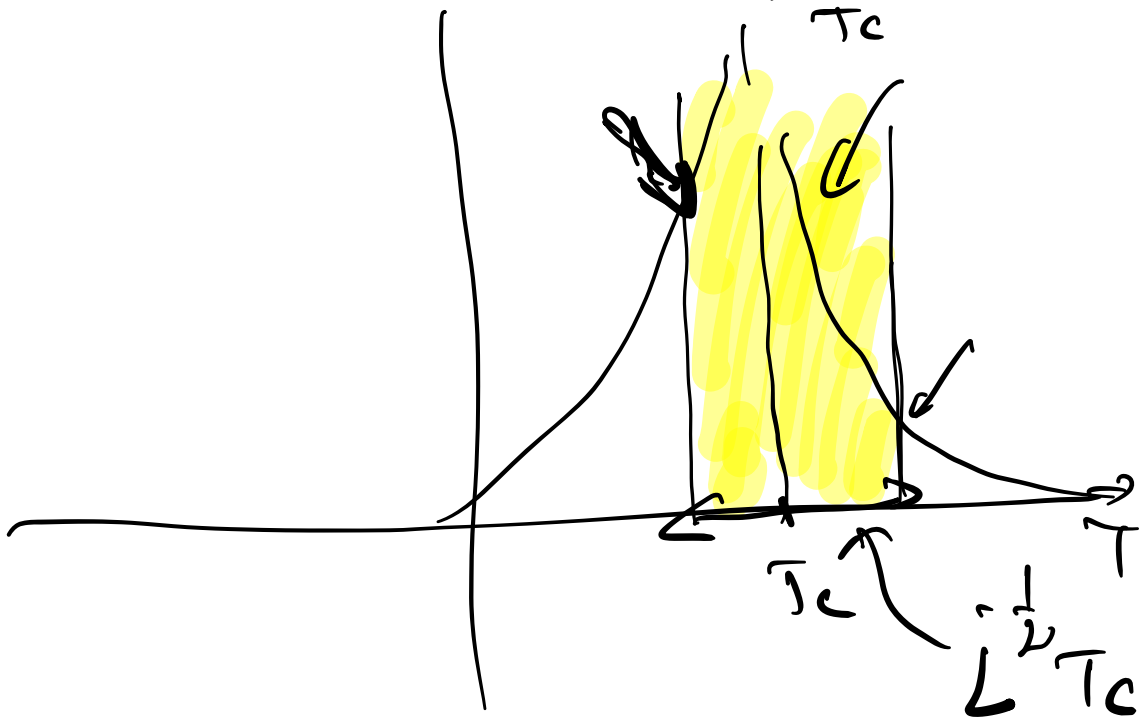
$$\left\{ \begin{array}{l} \rho \sim t^{-2} \\ \frac{\chi}{2} \sim t^{-3/2} \\ \frac{c}{2} \sim t^{-3/2} \end{array} \right.$$

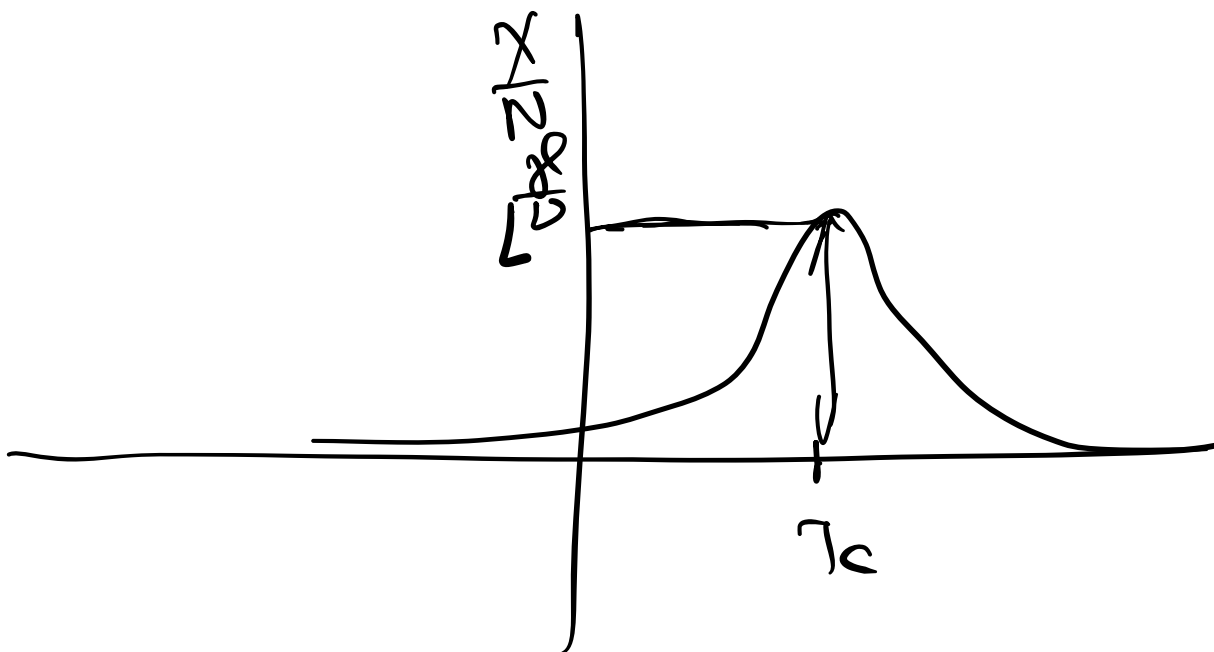


$\Delta_i \ll L \rightarrow$ como si el sistema
fuese ∞ .

para $\Delta_i \sim L$

$$\int \sim t^{-2} \sim L \Rightarrow t \sim L^{-\frac{1}{2}}$$
$$\frac{T - T_c}{T_c} \sim L^{-\frac{1}{2}}$$



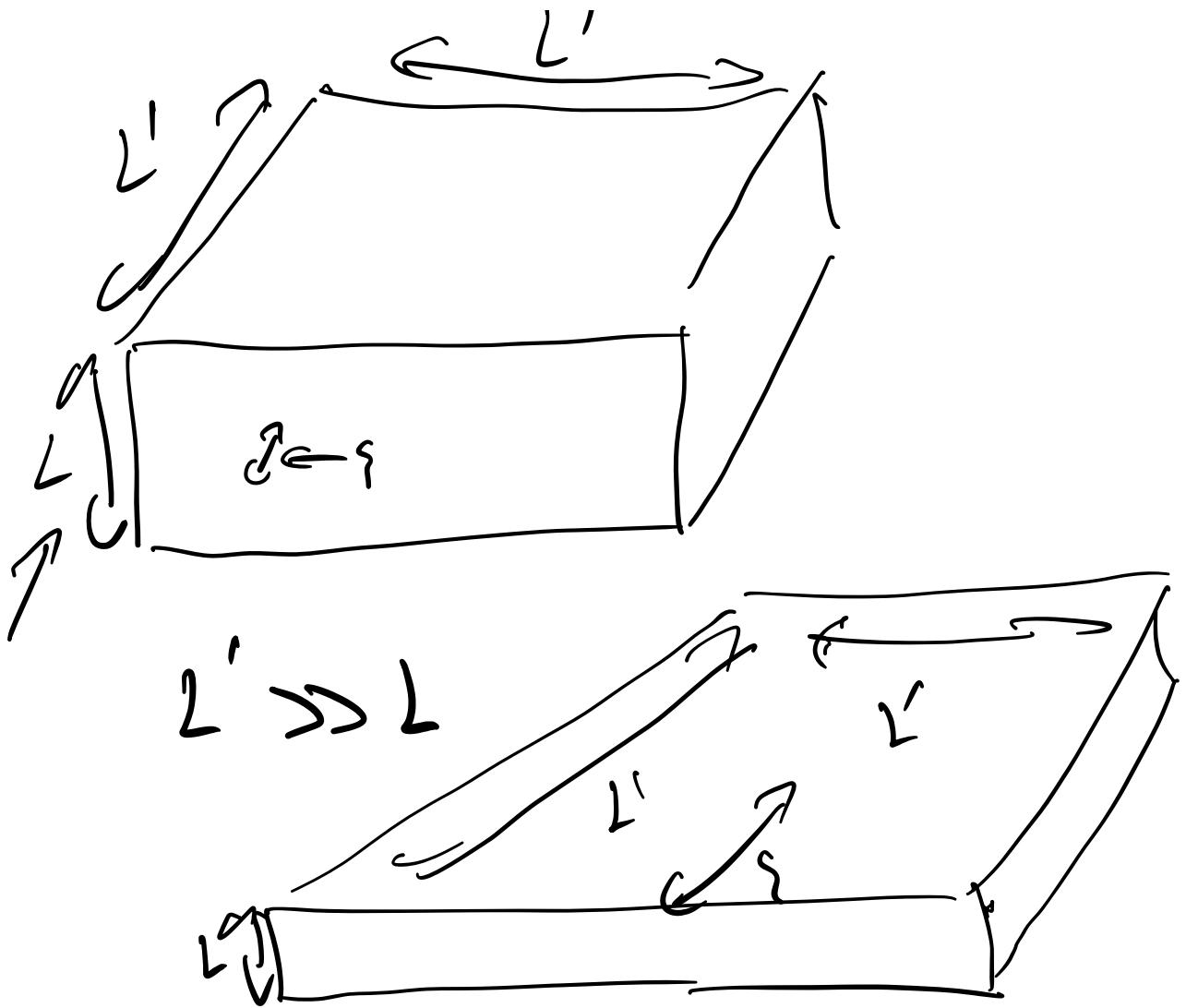


per ejemplo

$$\frac{X}{\omega} \sim t^{-\alpha} \quad \text{pero ni } L \text{ finito}$$

$$t_{\min} \sim L^{-\frac{1}{\alpha}}$$

$$\frac{X_{\max}}{2} \sim t_{\min} = L^{\frac{1}{\alpha}}$$



si T es tal que

$\xi \ll L \ll L' \rightarrow$ Casparamiento 3-D

$$T \sim T_{e_{3-D}} \rightarrow \frac{\chi_{\text{res}}}{N} \sim L \frac{\lambda_{3D}}{\lambda_{3D}}$$

$$\text{per } T_{C_{2-D}} \neq T_{C_{3-D}}$$

$$V_{2D} \neq \mathcal{D}_{2D}$$

$$\mathcal{H}_{2D} \neq \mathcal{H}_{3D}$$

$$\hat{n} \quad L < \rho \ll L' \Rightarrow \text{Carpeting}$$

2-D

$$T \sim T_{C_{2D}}$$

$$\frac{\chi_{\text{max}}}{N} \sim \left(\frac{L'}{\lambda_{2D}} \right)^{\frac{\mathcal{H}_{2D}}{2D}}$$

2) Sobre las fluctuaciones cuánticas

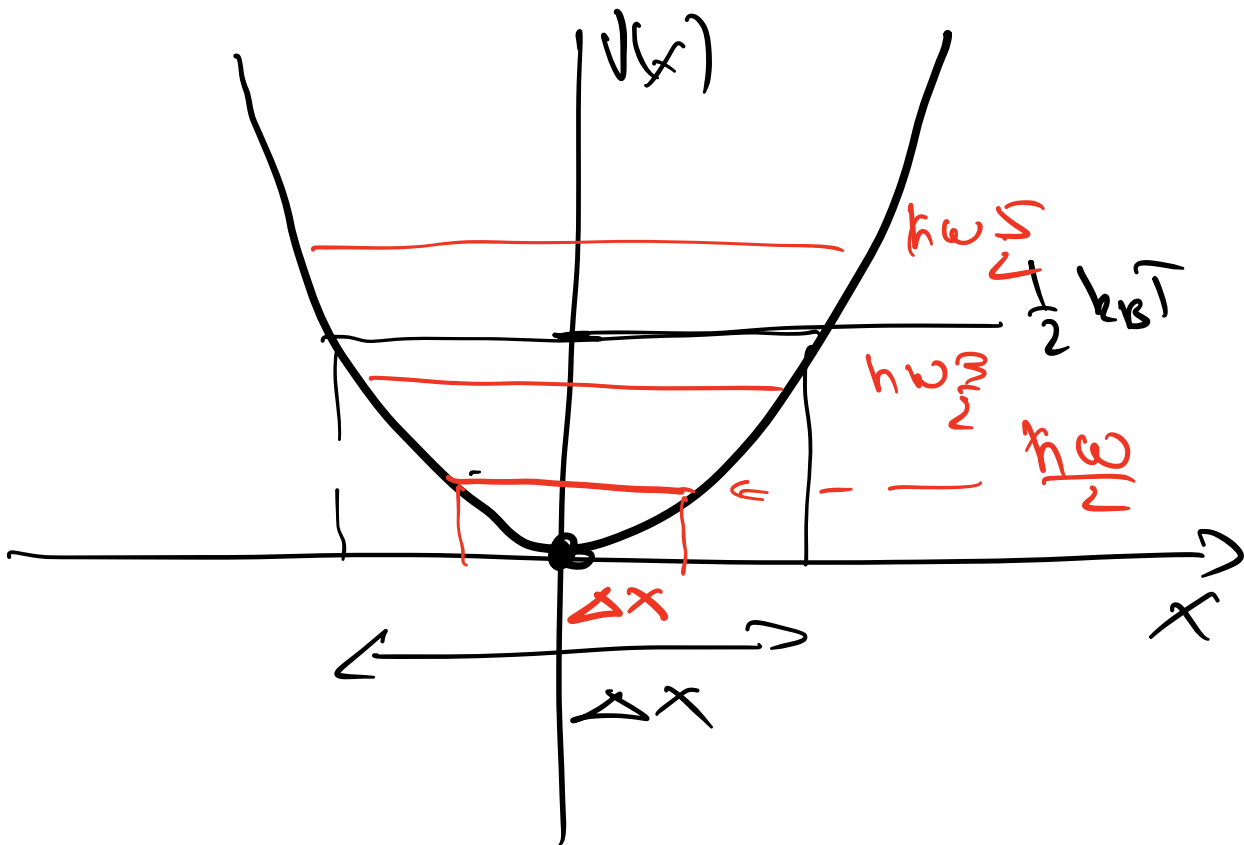
Aquí, hemos estudiado modelos no-cuánticos.

Oscilador armónico

$$V(x) = \frac{1}{2} m \omega^2 x^2$$
$$= \left(\frac{1}{2} k x^2 \right)$$

acoplado a un baño térmico a temperatura T

$$\langle E \rangle \sim \frac{1}{2} k_B T$$



$$E_n = \hbar\omega \left(n + \frac{1}{2}\right) \quad n = 0, 1, 2, \dots$$

$\Delta x_{\text{térmico}}$ vs $\Delta x_{\text{cuántico}}$

$\frac{1}{2} k_B T$ vs $\frac{1}{2} \hbar\omega$

$$\text{si } \hbar\omega \ll \hbar_B T$$

$$\rightarrow \Delta X_{\text{cuántico}} \ll \Delta X_{\text{térmico}}$$

\rightarrow el modelo clásico basta.

$$\text{pero si } \hbar\omega \sim k_B T$$

$$\Delta X_{\text{cuántico}} \sim \Delta X_{\text{térmico}}$$

\rightarrow las fluctuaciones cuánticas son importantes.

\rightarrow En general, para resistores a temperatura T , sólo las fluctuaciones cuánticas y

$E \gtrsim k_B T$ Van a influir.

→ excitaciones de energía

E , momento p

$E \sim p^z$ z exponente
dinámico.

$$E = c p \quad z = 1$$

$$E = \frac{p^2}{2m} \quad z = 2$$

$$\Rightarrow p^2 \gtrsim k_B T$$

pero, $n \cdot d$ es la longitud
de onda de de Broglie

$$P \sim \frac{h}{v}$$

$$v^{-2} \sim e^{\epsilon T}$$

$$v \sim e^{\epsilon T^{-1/2}}$$

→ si hay una transición de fase en una temperatura T_c

las fluctuaciones cuánticas

$$\text{domin} \sim T_c^{-1/2}, \text{ pero } \xi \sim t^{-\nu}$$

$$\hat{n} \quad t^{-\nu} \gg T_c^{-1/2} \quad \text{o} \quad \frac{T - T_c}{T_c} \ll T_c^{\nu/2}$$



\Rightarrow para toda transición de fase a temperatura $T_c \neq 0$

\Rightarrow las fluctuaciones cuánticas no cuentan.

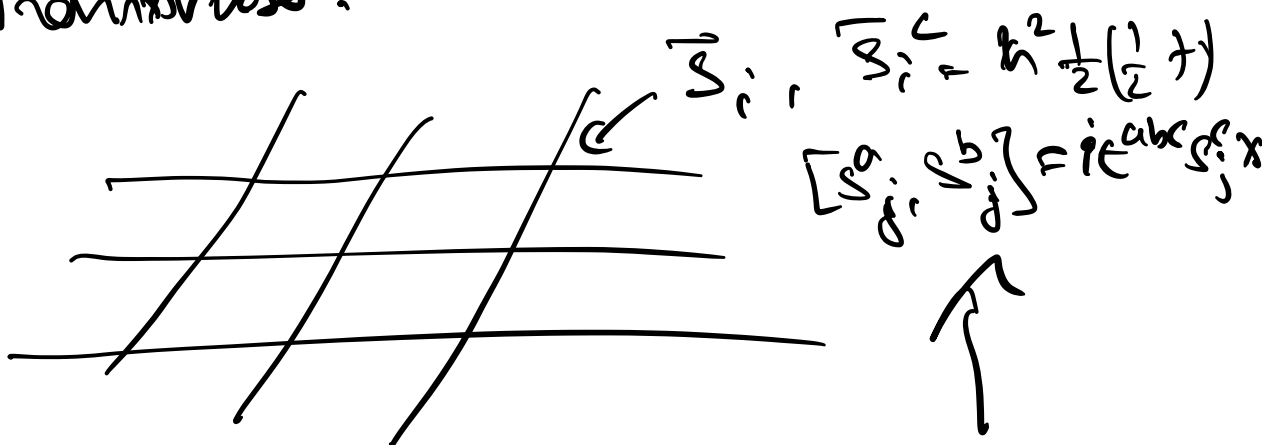
Las fluctuaciones cuánticas
solo juegan un papel, para
las transiciones de fase a $T=0$!

Transiciones de fase cuánticas.

Q.P.T.

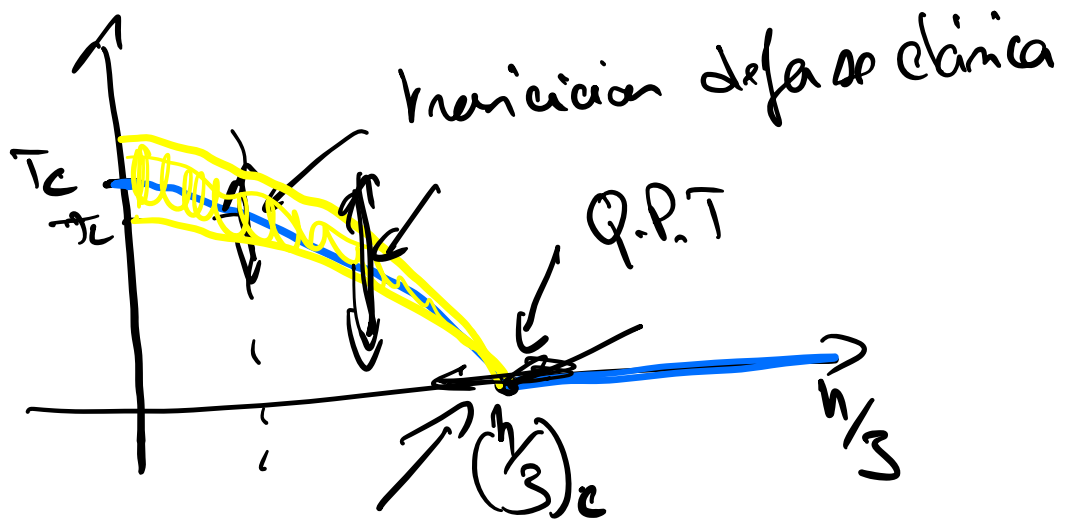
Ejemplo

Plataforma de Ising con campo
transverso.



$$\vec{f} = - \sum_{\langle i, j \rangle} S_i^z S_j^z - \sum_i S_i^x$$

* $\alpha h = 0, \rightarrow$ Início clássico



* $\alpha \frac{h}{g} \rightarrow \infty$

$$| \Psi \rangle_{GS} = \prod_{\otimes} \frac{1}{2} (| \uparrow \rangle + | \downarrow \rangle)$$

$$\langle GS | S_i^z | GS \rangle = 0$$